

## II-131 市街地域の雨水流出特性

京大防災研究所 正員 ○角屋 瞳  
正員 岡 太郎

市街地域の雨水流出特性を知ることは、丘陵地や低平地域の宅地商工業地域化に伴う流出量変化の予測ないし排水計画のためにも重要なことであるが、その実態観測はなかなか容易ではない。われわれは京都市西北部の天神川上流部の市街地域を対象流域として観測調査を進めているが、今回はとくに雨水流下特性を中心に検討した結果について報告する。

1. 調査対象流域： 図1に示すように、京都市西部を流れ桂川に合流する天神川の上流部約4kmの区間に流入する面積 $2.65 \text{ km}^2$ の市街地域である。この地域内の浸透域面積についての調査はまだ十分でないが、昭和40年国土地理院発行の1/25万の地形図では、残存農林地面積はきわめて少なくほとんど市街地域として彩色されており、また昭和44年8月の現地調査の結果、これら残存農地のほとんどが商工業地宅地化されていることがわかつた。道路網下水路網もよく整備されており、したがつて舗装率の高いほぼ完成した市街地域とみられる。下水路は上流域中70cm、中流域中50cm、下流域中50ないし100cmの長方形開水路が多く、そのほか上流域中650~1,000mm、中流域中450~650mmの管渠が数系統存在している。主要な雨水流下系統は図2のようである。

この市街地域の雨水が流入する天神川の上流端および御室川合流点上流400mの地点にそれぞれ縮尺 $i_r = 1/2.5$ ,  $t_r = 12 \text{ mm/hr}$ および $i_r = 1/20$ ,  $t_r = 10 \text{ mm hr}$ の水位計が設置しており、降雨記録は流域南東端に所在する京都気象台のそれを利用している。

2. 流域モデル： 流出特性の吟味にRiemann wave法を適用するものとして、次のような3つの流域モデルを考える。

モデルA：現状の雨水流下系統にはほぼ忠実なブロック割りを考えたモデル（図3）

モデルB：斜面長を主体にモデルAを簡略化したもの（図4）

モデルC：雨水が天神川に一様に流入する、すなむち下水路を無視した簡単なモデル（図5）

3. 流域の雨水保留損失特性： 市街地の流出量ハイドログラフが自然山地流域のそれと異なる点の1つは、流域の雨水長期保留能力が小さく、各種下水の放出もあって、きれいな流

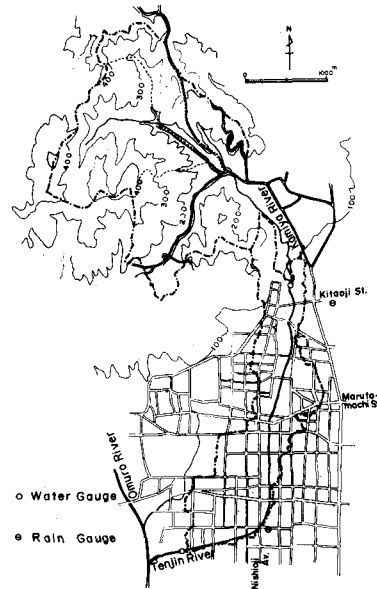


図1. 調査流域(天神川)の概要

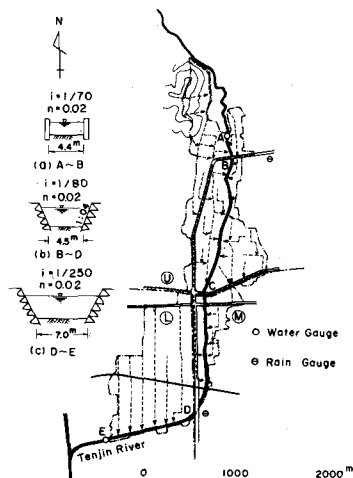


図2. 雨水流下系統概況

量自然てい減性状が見られないことであろう。天神川の場合、北山杉の名産地として知られる紙屋川流域 ( $5.2 \text{ km}^2$ ) の水を上流端流入量として受け、かつその推定精度が(林木類流下に伴う詰障害などのため)まだ十分な状態に達していないことが、市街地の直接流出量の把握を困難にすることもある。

この地域の昭和44年度に観測されたほぼ $30 \text{ mm}$ 以上のいくつかの降雨時の総流出量をみると、多くの場合降雨後2日以内にほぼ $100\%$ 近い流出率を示すようになる。いま直接流出がかなりきれいに分離できそうなものについて、雨量と流域内残存保存量との関係を示すと図6のようである。また昭和44年6月25日～7月6日の5回の豪雨時にみられたいくつかの流出量ピーク時の流出倍数を調べると $0.7 \sim 1.0$ であり、このうち天神川流域の面積約 $7 \text{ km}^2$ の位置に所在する下狩川流域 ( $1.37 \text{ km}^2$ 、竹林主体の渓谷層流域) のそれと対比できそうなものを示すと図7のようである。図中○印は時間的にはほぼ対応するもの、●印は同日中の他のピーク流出量時のそれを示している。

4. 雨水流下特性： 図8は、昭和44年6～7月の豪雨時にみられたいくつかのピーク流出量から換算した平均有効降雨強度  $R_e$  とその到達時間  $t_{pc}$  との関係を示したものである。

いま1本の流路とその片側または両側に一称「斜面」をもつような流域を考え、雨水流にkinematic wave法が適用できるものとすると、有効降雨強度  $R_e$  の雨水の流域下流端までの到達時間  $t_{pc}$  は、斜面伝播時間  $t_1$  と流路のそれ  $t_2$  との和として次のように表わされる。

$$\begin{aligned} t_{pc} &= t_1 + t_2 \\ t_1 &= \frac{R_e l}{(\alpha R_e)^{1-p_1}} \\ t_2 &= \frac{K L^{p_2}}{q_i^{1-p_2}} \end{aligned} \quad \left. \right\} \quad (1)$$

ここに  $l$ : 斜面長、  $L$ : 河道長、  $q_i = \alpha R_e l$  または  $\alpha R_e B$ 、  $B$ : 斜面総長、  $R_e$ 、  $\alpha$  および  $K$ 、  $p_2$ : 次式を仮定したときの

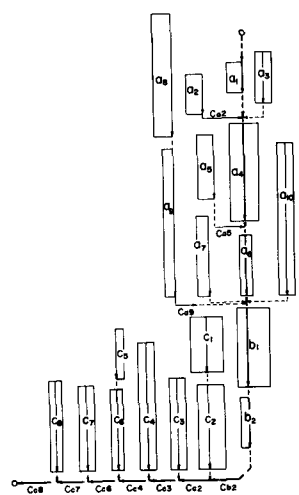


図3 流域モデル A

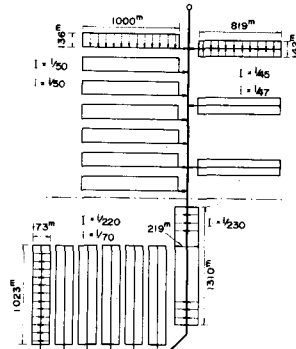


図4 流域モデル B

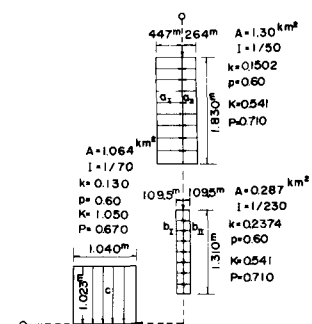


図5 流域モデル C

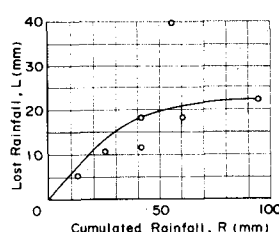


図6 直接流出に対する保存量

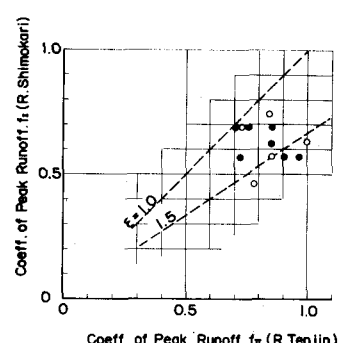


図7 ピーク流出係数の対比  
(昭和44.6.25～7.6)

## 定数

$$h = k_1 q^p, \quad A = K Q^{p_2} \quad (2)$$

ここに  $k_1$ : 斜面流の水深,  $q$ : 單位巾流量,  $A$ : 流路の流水断面積,  $Q$ : 流路の流量

また斜面の雨水流に Manning 則の成立するときは

$$k_1 = (N / \sqrt{\sin \theta_s})^p, \quad p = 3/5 \quad (3)$$

ここに  $N$ : 斜面の等価粗度,  $\theta_s$ : 斜面傾斜角

実際の流域は、1本の流路とその側方に斜面を持つモデルより、むしろそろした分割流域の集合と考える方が

よいことが多いが、この場合には主河道の流下時間  $t_3$  を用いて

$$t_{pc} = t_1 + t_3, \quad t_3 = \sum_j t'_{2j} = \sum_j \frac{K(Q_{21} - Q_{20})}{q_{i,j}} \quad (4)$$

ここに  $Q_{21} = Q_{20} + q_i L$ ,  $Q_{20}$ : 流路上端流量

(1) 式の  $t_2$  は(4)式の  $t_3$  の  $j=1$ ,  $Q_{20}=0$  の特別な場合に相当する。

自然山地流域では、流域形状によつても多少異なるが、概して  $t_3 = (0.1 \sim 0.2) t_{pc}$  の程度であり、 $t_{pc}$  はほぼ  $r_e^{-0.4}$  に比例するとみられるが、市街地河川ではそのウエイトがかなり大きく、 $t_{pc} \propto r_e^{-0.4}$  の関係が成立しないことがある。天神川流域の場合は  $t_3 \approx 0.6 t_{pc}$  と概算された。また図8には一応  $t_{pc}$  が  $r_e^{-0.39}$  の線が挿入されている。

さてなんらかの方法で斜面流下時間  $t_3$  が確定されるならば、Manning 則を仮定したときの等価粗度は次式によつて推定できる。

$$N = \frac{\sqrt{\sin \theta_s}}{L} t_1^{5/3} (d r_e)^{2/3} \quad (5)$$

天神川流域の場合、モデルBを想定すると、 $t_1 \approx 0.4 t_{pc}$  として、 $N$  は次のように概算される。

$$r_e = 3.6 \text{ mm/hr} : N = 0.0141 (\text{m}^{1/3} \cdot \text{sec}) \\ = 36 = 0.0142$$

すなわちコンクリート水路における Manning の粗度係数の値と同善となるのが興味深いが、あくまでも概算値にすぎない。そこでモデルBの斜面の等価粗度として  $N = 0.01$  を与え、ピーク流出時の降雨を対象として、次のように若干の検算をしてみた。

流域に一様強度  $r_e$  の降雨があるとき、斜面上端雨水が天神川まで伝播到達する時間は(1)式で与えられる。いま上流域において下水路断面を  $\phi 1000 \text{ mm}$ ,  $n = 0.014$  としたときの結果が図9に示されている。同図には念のため  $N = 0.015$ ,  $0.008$  とした場合の結果も併示してある。

天神川の流下時間を簡単のため横から一様流入量  $q_e$  を反ける流れと仮定して求めると、それは(4)式の  $t_3$  の形で求まる。このように仮定したときの  $q_e$  および  $Q = q_e L$

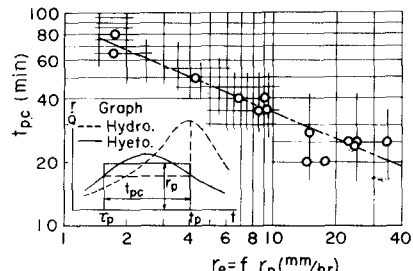


図8 降雨強度と雨水到達時間の関係  
(天神川市街地域, 明44.6~44.7)

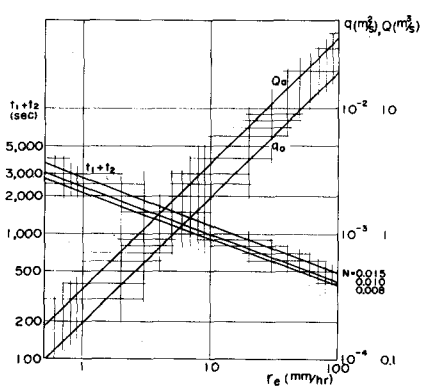


図9 降雨強度とその雨水の天神川への到達時間  
(上流域)

を上流域について示した例が図9である。天神川中流、下流部の伝播時間も同様にして求められる。図10はこのようにして求めた計算結果を観測値と対比したもので、結局斜面の等価粗度として  $N = 0.01$  としてよいことがわかった。このことは、モデルBの作成経緯よりして、現行排水系統にほぼ適切にプロット割りをしたモデルAにおいても、 $N = 0.01$  として実用上は十分なことを意味しているとみてよい。

5. 流出量ハイドログラフ： ピーク流出量の検討によって推定されたNの当否をハイドログラフから検討してみる。モデルAでは前項結果を考慮して、一部のプロット ( $a_6: N=0.2, a_8: N=0.8$ ) を除き  $N=0.01$  とする。モデルCは下水路の存在を無視しているので、この影響をNに考慮しておく必要があるが、これには(5)式を用いなければならない。すなわち上流域では図9の  $t_1+t_2$  の値を(5)式の  $t_1$  に代入すると、 $Re = Z \sim 40 (\text{mm/hr})$  に対し  $N = (5.8 \sim 6.3) \times 10^{-3} \div 0.006$ 、同様にして下流域では  $N = 0.004$  を得た。雨水流追跡にManning則を仮定して得られる周知の等流特性曲線法を適用するものとすると、斜面に対する計算式は(6)式、流域に対する式は  $P_i \rightarrow P_{i+1}, R_i \rightarrow K, Q_i \rightarrow Q, dRe \rightarrow \Delta Re$  とすればよい。

さて昭和44年7月4~5日の雨を対象に、図6の曲線を用いて10分ごとの有効降雨を算定し、天神川上流端流入量についても10分ごとに観測値を読みとりデータとして与え、モデルCについて計算した結果を図11に示す。モデルAについての結果もこれとほとんど変わらない。計算には京大型計算機センターFACOM 230-60を用い、 $\Delta t = 5\text{分}$ とした。この雨ではピーグが2回現れ、観測値では前の方が大きいに対し計算結果は逆であり、減水部にも若干の差がみられる。降雨データとして京都気象台のそれを用いたが、北部(週巻)の記録と対比すると、3時頃雨量は(北部) > (南部)、8時頃雨量は逆であった。これが観測値と計算値の差の一因とみられる。しかし全般的にはよい対応がみられるとしてよい。

以上から、市街地域のNの評価にピーク流出量を基礎にして十分であること、排水系統を十分考慮した丁寧なモデルのNは、Manningの粗度係数に近いこと、モデルによりNが異なることなどがわかる。

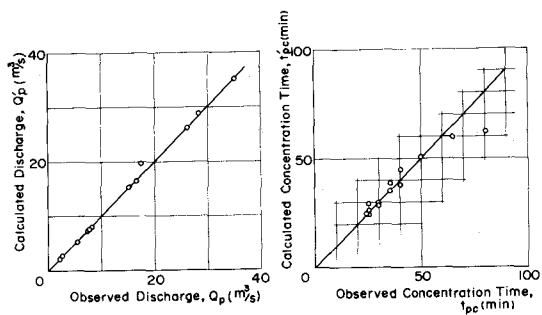


図10 ピーク流量とその到達時間、計算値と観測値の対比

$$\begin{aligned} \Delta Re \neq 0: \quad q_{i+1}^p &= \frac{(\Delta Re)_{i+1,i} \Delta t_{i+1,i}}{R_i} + g_{i+1}^p \\ \Delta x_{i+1,i} &= \frac{g_i - g_{i+1}}{(\Delta Re)_{i+1,i}} \end{aligned} \quad \left. \right\} \quad (6-1)$$

$$\begin{aligned} \Delta Re = 0: \quad g_i &= g_{i-1} \\ \Delta x_{i+1,i} &= \frac{g_i - g_{i+1}}{P_i R_i} \Delta t_{i+1,i} \end{aligned} \quad \left. \right\} \quad (6-2)$$

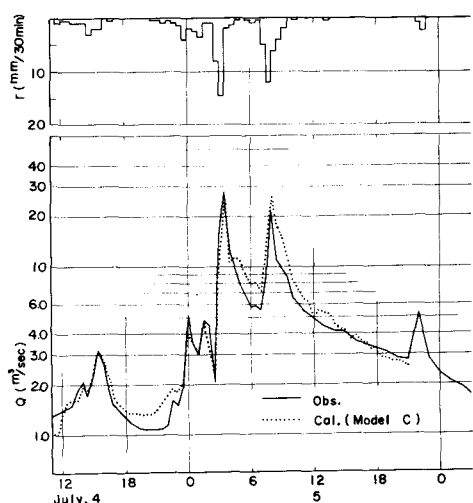


図11 流出量ハイドログラフの対比(昭44.7.4~5, モデルC)